

# СПЕКТР ПЛАЗМЕННЫХ КОЛЕБАНИЙ ПЕРИОДИЧЕСКИ НЕОДНОРОДНОЙ ДВУМЕРНОЙ ЭЛЕКТРОННОЙ СИСТЕМЫ ВБЛИЗИ ПОРОГА ПЕРФОРАЦИИ

О. Р. Матов, О. В. Полищук, В. В. Попов\*

Саратовское отделение Института радиотехники и электроники Российской академии наук  
410019, Саратов, Россия

Поступила в редакцию 16 октября 2001 г.

Теоретически исследована трансформация спектра плазменных колебаний с нулевым приведенным волновым вектором в пространственно-модулированной двумерной электронной системе при переходе системы в режим изолированных квазиодномерных электронных каналов. На основе полученных результатов дано объяснение известным экспериментам по наблюдению трансформации плазменного резонанса при переходе через порог нарушения сплошности двумерной электронной системы.

PACS: 73.20.Mf

## 1. ВВЕДЕНИЕ

В работах [1, 2] экспериментально исследовались методом субмиллиметровой фурье-спектроскопии возбуждения периодически неоднородной двумерной (2D) электронной плазмы в гетероструктурах GaAs/AlGaAs вблизи порога перехода от сплошной 2D-системы с пространственной модуляцией плотности электронов к системе изолированных квазиодномерных электронных каналов. Пространственная модуляция плотности электронов в 2D-системе создавалась за счет эффекта поля при подаче электрического смещения  $V_g < 0$  на периодический затворный электрод. В качестве затворного электрода использовался сплошной полупрозрачный для электромагнитных волн проводящий слой NiCr с периодической гофрировкой (рис. 1).

Техника субмиллиметровой фурье-спектроскопии позволяет наблюдать возбуждения собственных колебаний с нулевым приведенным волновым вектором  $k = 0$  в плоскости периодически неоднородной 2D-системы. В работах [1, 2] исследовался плазменный резонанс, соответствующий возбуждению основного (нижнего по частоте) плазменного колебания с  $k = 0$ . Увеличение глубины модуляции плотности электронов с ростом  $|V_g|$  в режиме непрерыв-

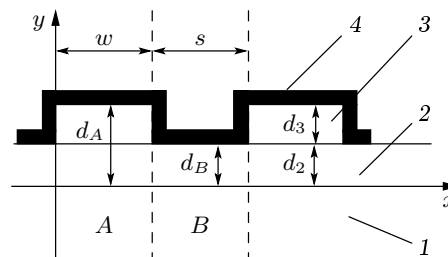


Рис. 1. Схематическое изображение структуры с периодически неоднородной двумерной электронной плазмой [1]: 1 — GaAs; 2 — AlGaAs; 3 — фоторезист; 4 — затворный электрод (NiCr). Пространственно-модулированный электронный 2D-газ расположен на границе раздела сред 1 и 2

ности электронной 2D-системы приводит к уменьшению частоты плазменного резонанса. При этом квадрат частоты резонанса уменьшается быстрее, чем средняя поверхностная плотность электронов в 2D-системе, что связано, как показано в работе [3], с локализацией основной моды плазменных колебаний в областях 2D-плазмы с меньшей концентрацией электронов.

При  $V_g < V_{tB}$ , где  $V_{tB}$  — пороговое значение напряжения, соответствующее полному обеднению электронного слоя на участке B (см. рис. 1), непрерывность электронной 2D-системы нарушается

\*E-mail: popov@ire.san.ru

(происходит перфорация электронной  $2D$ -системы) и возникает периодическая система изолированных квазиодномерных электронных каналов. При увеличении  $|V_g|$  в области  $V_g < V_{tB}$  наблюдается увеличение частоты плазменных колебаний электронов, локализованных в системе изолированных квазиодномерных каналов. Этот факт получил теоретическое объяснение в работе [4].

Данные экспериментов [1, 2] свидетельствуют о том, что при достижении порога нарушения непрерывности электронной  $2D$ -системы (при  $V_g = V_{tB}$ ) частота плазменного резонанса остается конечной даже в отсутствие внешнего магнитного поля. При этом частота плазменного резонанса изменяется непрерывно при переходе от сплошной пространственно-модулированной электронной  $2D$ -системы к системе изолированных квазиодномерных каналов.

Теоретическому рассмотрению трансформации спектра плазменных колебаний при переходе от однородной электронной  $2D$ -системы к периодической системе изолированных квазиодномерных электронных каналов посвящены работы [5–7]. В работах [5, 6] отклик периодически неоднородной электронной  $2D$ -системы описывался с помощью локальной поверхностной проводимости, а в работе [7] использовался гидродинамический подход в модели Томаса–Ферми–Дирака–Вейцеккера. В соответствии с результатами расчетов [5, 6] частоты всех (в том числе основных) плазменных мод с нулевым приведенным волновым вектором в непрерывной периодически неоднородной электронной  $2D$ -системе уменьшаются до нуля при приближении к порогу нарушения непрерывности системы. В то же время в работе [7] сделан вывод о том, что с ростом глубины пространственной модуляции электронной плотности в электронной  $2D$ -системе с периодом  $L$  происходит непрерывная трансформация плазменной моды однородной электронной  $2D$ -системы с волновым вектором  $k = 2\pi/L$  в основную дипольную моду плазменных колебаний, локализованных в изолированных электронных каналах.

Таким образом, до настоящего времени оставался невыясненным вопрос о физическом механизме трансформации плазменного резонанса при переходе через порог нарушения сплошности электронной  $2D$ -системы.

В теоретических работах [5–7] плазменные колебания описывались в электростатическом приближении без учета их связи с электромагнитными полями излучения из структуры. В работе [3] было показано, что учет электродинамических эффектов является существенным при рассмотрении собственных

колебаний с нулевым приведенным волновым вектором в плоскости периодически неоднородной электронной  $2D$ -системы. Как уже отмечалось выше, именно такие колебания возбуждаются в экспериментах по субмиллиметровой фурье-спектроскопии низкоразмерных электронных систем.

В данной работе с использованием общей электродинамической теории, развитой в [3], выясняется механизм трансформации плазменных колебаний с нулевым приведенным волновым вектором при переходе от сплошной пространственно-модулированной  $2D$ -системы к системе изолированных квазиодномерных каналов. Изложение результатов работы построено в следующей последовательности. В разд. 2 обсуждается используемая модель для вычисления равновесного периодического распределения электронной плотности в  $2D$ -системе в зависимости от напряжения на периодическом затворном электроде. В разд. 3 приводятся результаты расчета в сравнении с экспериментальными данными работ [1, 2]. В Заключении собраны основные выводы.

## 2. РАВНОВЕСНОЕ РАСПРЕДЕЛЕНИЕ ЭЛЕКТРОНОВ В ПЕРИОДИЧЕСКИ НЕОДНОРОДНОЙ ДВУМЕРНОЙ СИСТЕМЕ: ИСПОЛЬЗУЕМАЯ МОДЕЛЬ

В работах [1, 2] приводятся экспериментальные значения частот плазменного резонанса в структуре, представленной на рис. 1, в зависимости от напряжения  $V_g$  на затворном электроде. В то же время входными параметрами теории [3] являются значения концентраций электронов  $N_{A,B}$  в  $2D$ -системе на участках  $A$  и  $B$ . Строго говоря, для определения  $N_{A,B}$  необходимо решить соответствующую электростатическую задачу для структуры с периодически изогнутым затворным электродом. При этом очевидно, что профиль распределения плотности электронов в  $2D$ -системе будет в общем случае отличаться от прямоугольного профиля, принятого в [3]. Однако точная форма затворного электрода не известна, так как она практически не поддается строгому контролю в ходе технологического процесса изготовления электрода. К тому же неизвестно точное значение диэлектрической проницаемости AlGaAs в исследуемом в [1, 2] диапазоне частот (оно зависит также и от процентного содержания алюминия). Поэтому для нахождения равновесного распределения электронов в  $2D$ -системе ниже использована простая приближенная модель, допускающая непосредственное применение теории [3] для описания плазменных колебаний в системе и в то же время обес-

печивающая необходимую «привязку» к условиям экспериментов [1, 2] с помощью подгоночных параметров.

Значения поверхностной концентрации электронов на участках  $A$  и  $B$  (см. рис. 1) будем определять по формуле плоского конденсатора:

$$N_{A(B)} = \frac{V_g - V_{tA(B)}}{d_{A(B)} e} \varepsilon_{A(B)} \varepsilon_0 \quad (V_{tA(B)} \leq V_g < 0), \quad (1)$$

где  $d_{A(B)}$  — расстояние от  $2D$ -системы до затворного электрода на участке  $A$  ( $B$ );  $V_{tA(B)}$  — пороговое значение напряжения на затворе, соответствующее полному обеднению электронной  $2D$ -системы на участке  $A$  ( $B$ );  $e$  — заряд электрона ( $e > 0$ ),  $\varepsilon_0$  — электрическая постоянная. Диэлектрическая постоянная  $\varepsilon_B$  на участке  $B$  полагается равной диэлектрической постоянной материала AlGaAs. В соответствии с экспериментальной ситуацией на участке  $A$  конденсатор заполнен составным диэлектриком толщиной  $d_A = d_2 + d_3$ , где  $d_2$  и  $d_3$  — толщины соответственно слоев AlGaAs и фоторезиста. В этом случае эффективная диэлектрическая постоянная  $\varepsilon_A$ , входящая в формулу (1), в принятой модели плоского конденсатора имеет вид

$$\varepsilon_A = \frac{\varepsilon_2 \varepsilon_3 (d_2 + d_3)}{d_2 \varepsilon_3 + d_3 \varepsilon_2},$$

где  $\varepsilon_2$  и  $\varepsilon_3$  — диэлектрические постоянные соответственно AlGaAs и фоторезиста. Пороговое напряжение  $V_{tB} = -0.5$  В, соответствующее образованию системы изолированных квазиодномерных электронных каналов, находилось экспериментально в [1] из емкостных и токовых измерений. Значение  $V_{tA}$  в используемой модели определяется из условия  $N_A = N_B$  при  $V_g = 0$ , откуда следует

$$V_{tA} = \frac{d_A \varepsilon_B}{d_B \varepsilon_A} V_{tB}.$$

Описанная модель плоского конденсатора часто применяется для оценки электронной плотности в пространственно-модулированных  $2D$ -системах [1, 2]. Очевидно, что эта модель дает правильные количественные результаты только при  $d_A \ll w$ ,  $d_B \ll s$ . В структурах, исследованных в [1, 2], указанное соотношение практически имеет место на участке  $B$  ( $d_B \approx 50$  нм,  $s \approx 250$  нм), но не выполняется на участке  $A$  ( $d_A \approx 170$  нм,  $w \approx 250$  нм). Поэтому по отношению к участку  $A$  формулу (1) можно рассматривать только как подгоночное соотношение. В качестве единственного подгоночного параметра целесообразно использовать величину  $d_3$ , которая определяет все остальные параметры

( $V_{tA}$  и  $\varepsilon_A$ ), входящие в формулу (1) для вычисления  $N_A$ . Естественно, что подгоночное значение  $d_3$  будет в общем случае отличаться от реальной геометрической толщины фоторезиста  $z$ . Значения диэлектрических постоянных сред в используемой электростатической модели принимались следующими:  $\varepsilon_1 = 12.8$ ,  $\varepsilon_2 = 11.0$ ,  $\varepsilon_3 = 2.4$  [8].

### 3. РЕЗУЛЬТАТЫ РАСЧЕТА. СРАВНЕНИЕ С ЭКСПЕРИМЕНТОМ

Теоретическое рассмотрение в настоящей работе сводится к решению двух отдельных задач. Сначала по формуле (1) находят значения концентраций электронов на участках  $A$  и  $B$  системы в зависимости от напряжения на затворном электроде. Условия выбора величины подгоночного параметра  $d_3$  обсуждаются ниже. Затем вычисленные значения  $N_{A,B}$  используются в электродинамической модели [3].

Расчетный алгоритм, разработанный в [3], позволяет вычислять частоту, радиационное затухание и распределения амплитуд колебаний полей и плотности заряда для любой плазменной моды в периодически неоднородной электронной  $2D$ -системе с прямоугольным профилем модуляции электронной плотности:

$$N_s(x) = \begin{cases} N_A & \text{при } 0 < x < w, \\ N_B & \text{при } w < x < L, \end{cases}$$

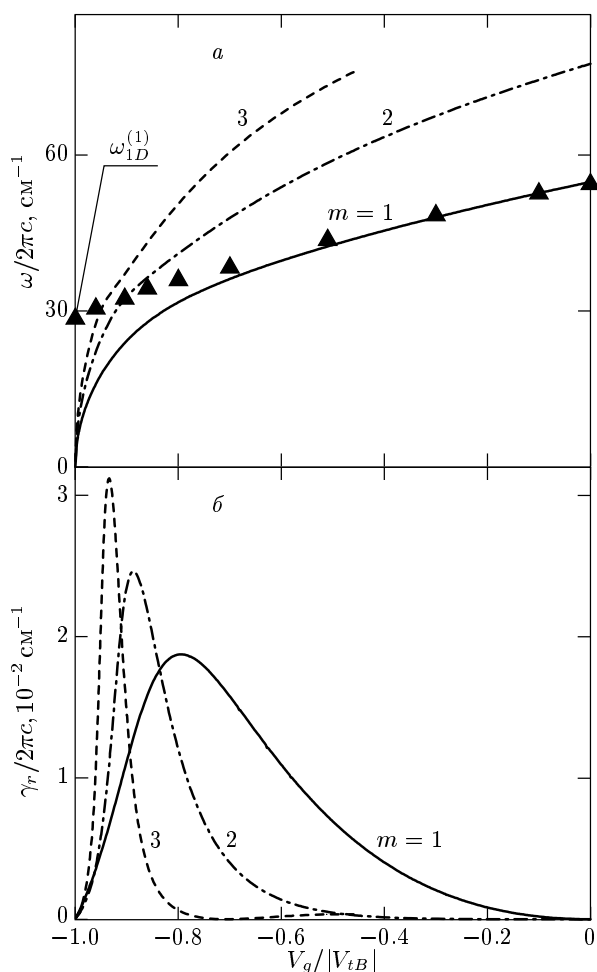
где  $L = w + s$  — период структуры, при произвольном коэффициенте глубины модуляции

$$\Delta n_s = \frac{N_A - N_B}{N_A + N_B} \leq 1 \quad (N_A \geq N_B \geq 0).$$

Отклик электронной  $2D$ -системы на действие гармонического электрического поля вида  $E \exp(i\tilde{\omega}t)$  будем описывать в локальном приближении (модель Друде) поверхностной проводимостью

$$\sigma_{A(B)} = \frac{e^2 N_{A(B)}}{m^*} \frac{\tau}{1 + i\tilde{\omega}\tau},$$

где  $m^*$  — эффективная масса электрона,  $\tau$  — феноменологическое время релаксации импульса электронов в  $2D$ -системе. Действительная часть комплексной частоты  $\tilde{\omega} = \omega + i\gamma$  соответствует частоте плазменных колебаний, а мнимая часть  $\gamma$  представляет собой коэффициент их затухания, связанного в общем случае как с диссипативными процессами в системе, так и с электромагнитным излучением из структуры. Очевидно, что в случае  $1/\tau = 0$  имеем  $\gamma = \gamma_r$ , где  $\gamma_r$  — радиационное затухание.



**Рис. 2.** Зависимости частот  $\omega^{(m)}$  (а) и радиационного затухания  $\gamma_r^{(m)}$  (б) ( $m = 1, 2, 3$ ) от напряжения на затворном электроде  $V_g$ . Треугольники соответствуют экспериментальным данным работы [1]

В электродинамической модели полагается, что электронная 2D-система находится на плоской границе раздела двух полубесконечных сред с диэлектрическими постоянными  $\epsilon_1$  и  $\epsilon_2$ . В этом смысле используемая электродинамическая модель также отличается от реальной структуры, изображенной на рис. 1, где над поверхностью плоского слоя AlGaAs находится периодически изогнутый полупрозрачный проводник NiCr. Однако, используя величину  $\epsilon_2$  как единственный подгоночный параметр в электродинамической задаче, можно количественно учесть влияние гофрированного проводящего затвора на экранирование плазменных колебаний в 2D-системе.

На рис. 2 приведены результаты расчета частот  $\omega^{(m)}$  и радиационного затухания  $\gamma_r^{(m)}$  для трех низ-

ших плазменных мод с нулевым приведенным волновым вектором во всем диапазоне изменения коэффициента глубины модуляции  $0 \leq \Delta n_s \leq 1$  для характерных параметров эксперимента [1] в случае  $1/\tau = 0$ . Моды обозначены индексом  $m$  в порядке возрастания их частоты. Физически типы плазменных колебаний с разными значениями индекса  $m$  различаются числом осцилляций амплитуды колебаний поля (и плотности заряда) на периоде системы. Расчетные данные приведены только для радиационных мод, так как только эти моды могут проявляться в виде плазменных резонансов в экспериментах. На рис. 2а видно, что частоты всех мод уменьшаются до нуля при достижении порога нарушения сплошности 2D-системы (при  $V_g = V_{tB}$ ). При этом с ростом индекса моды  $m$  убывание частоты при  $V_g \rightarrow V_{tB}$  становится более резким, так что спектральная зависимость моды с  $m = 3$  приближается к линии  $V_g = V_{tB}$ , на которой расположены частоты дипольных плазменных колебаний  $\omega_{1D}^{(m)}$ , локализованных в изолированных электронных полосках шириной  $w$  при  $N_A|_{V_g=V_{tB}}$ . При этом на кривой зависимости  $\omega^{(3)}(V_g)$  заметен небольшой излом напротив частоты основной дипольной моды  $\omega_{1D}$ , возникающий вследствие взаимодействия указанных мод.

В электродинамической задаче использовалось подгоночное значение величины  $\epsilon_2 = 16$ , выбранное из условия совпадения теоретического и экспериментального значений частоты основной моды ( $m = 1$ ) в случае однородной 2D-системы (при  $V_g = 0$ ). Значение величины  $d_3$  выбиралось с помощью подгонки теоретического значения частоты основной дипольной моды в изолированных электронных каналах к экспериментальным данным [1] для частоты плазменного резонанса при  $V_g = V_{tB}$ . Заметим, что соответствующая частота, вычисленная по оценочной формуле [9, 10]

$$\omega_{1D}^{(1)} = \sqrt{\frac{2N_A|_{V_g=V_{tB}} \cdot e^2}{\epsilon_0(\epsilon_1 + \epsilon_2)m^*w}},$$

для классического изолированного электронного канала с прямоугольным профилем электронной плотности совпадает с точным теоретическим значением с погрешностью менее 5%.

Радиационное затухание плазменных мод ведет себя немонотонным образом в зависимости от напряжения на затворном электроде (рис. 2б). Максимумы радиационного затухания для разных мод имеют место при различных значениях  $V_g$ . Из данных, приведенных на рис. 2б, следует, что вблизи порога перфорации 2D-системы (при  $V_g \rightarrow V_{tB}$ ) максимальное значение радиационного затухания имеет

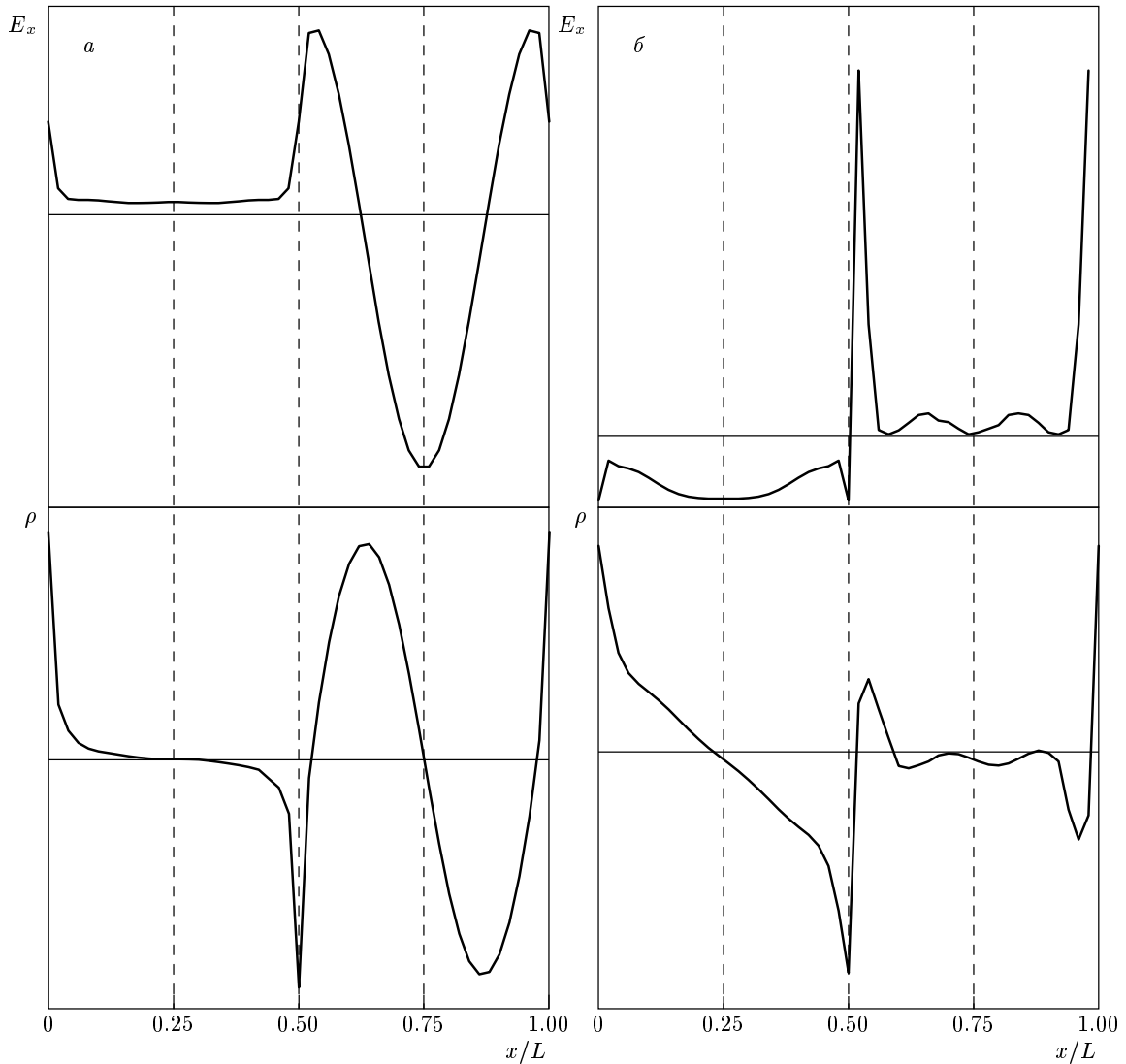


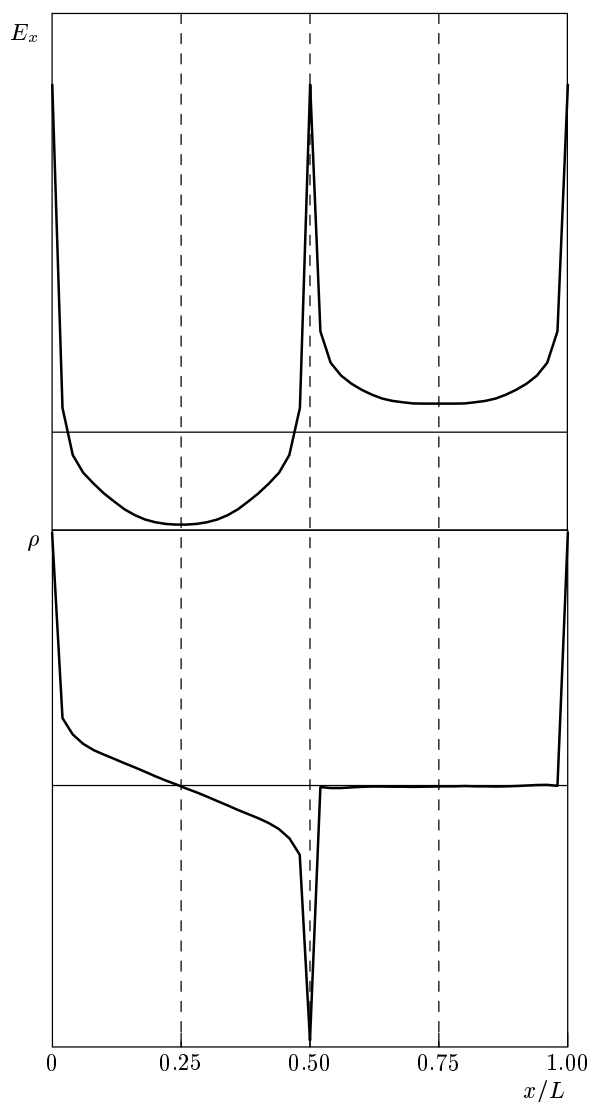
Рис. 3. Распределения продольного электрического поля  $E_x$  и плотности заряда  $\rho$  в плоскости  $2D$ -системы для двух мод плазменных колебаний  $m = 1$  (а) и  $m = 3$  (б) при  $\Delta n_s = 0.9$

мода с  $m = 3$ . Поскольку величина радиационного затухания характеризует связь плазменных колебаний с внешней электромагнитной волной [11, 12], интенсивность возбуждения той или иной плазменной моды будет различной при разных  $V_g$ .

Таким образом, представленные результаты указывают на то, что экспериментально наблюдаемый в [1, 2] плазменный резонанс в сплошной  $2D$ -системе с пространственно-модулированной электронной плотностью при  $V_{tB} < V_g \leq 0$  (соответствующие экспериментальные данные показаны на рис. 2а треугольниками) связан с возбуждением различных плазменных мод. При слабой модуляции возбуждается мода с  $m = 1$ . По мере приближения к по-

рогу нарушения сплошности  $2D$ -системы наиболее эффективно возбуждается мода с  $m = 3$ , давая резонанс на частоте  $\omega^{(3)} \approx \omega_{1D}^{(1)}$  при  $V_g \approx V_{tB}$  (см. рис. 2а). В промежуточной области ряд экспериментальных точек может быть обусловлен возбуждением моды с  $m = 2$ .

Физическая картина трансформации различных плазменных мод с изменением  $V_g$  поясняется рис. 3, на котором представлены распределения продольного электрического поля  $E_x$  и плотности заряда в плоскости  $2D$ -системы для двух мод плазменных колебаний ( $m = 1, 3$ ) при большой глубине модуляции равновесной электронной плотности  $\Delta n_s = 0.9$  ( $V_g/|V_{tB}| = -0.97$ ). Видно, что в этом случае плаз-



**Рис. 4.** Распределения продольного электрического поля и плотности заряда для основного дипольного колебания в системе изолированных электронных каналов

менные осцилляции с  $m = 1$  локализируются в области  $2D$ -системы с меньшей концентрацией электронов, что приводит к уменьшению частоты и радиационного затухания этой моды. Расчеты показывают, что распределения амплитуд осцилляций электрического поля и заряда в плазменной моде с  $m = 2$  ведут себя аналогичным образом. В то же время поведение моды с  $m = 3$  демонстрирует противоположный характер при той же глубине модуляции, соответствующей точке излома спектральной зависимости этой моды (см. рис. 2а). Колебания заряда в основном сосредоточены в области  $2D$ -системы с большой

концентрацией электронов. При этом на участке  $A$  формируются распределения поля и плотности заряда, аналогичные соответствующим распределениям для основного дипольного колебания в изолированном квазиодномерном электронном канале (сравн. рис. 3б и 4). Это объясняет экспериментально наблюдаемую в [1, 2] плавную трансформацию плазменного резонанса при переходе через порог перфорации  $2D$ -системы. Естественно, что при дальнейшем увеличении затворного напряжения  $|V_g|$  колебания моды с  $m = 3$  локализируются также в областях  $2D$ -системы с малой концентрацией электронов, что и приводит к уменьшению частоты и радиационного затухания этой моды до нуля при  $V_g \rightarrow V_{LB}$ .

#### 4. ЗАКЛЮЧЕНИЕ

В рамках строгого электродинамического подхода в работе проведен анализ спектра плазменных колебаний периодически неоднородной электронной  $2D$ -системы с прямоугольным профилем распределения электронной плотности вблизи порога ее перфорации, приводящей к образованию изолированных квазиодномерных электронных каналов. Так же, как и в электростатической модели [5, 6], частоты всех плазменных мод уменьшаются до нуля при приближении к порогу перфорации системы. В то же время спектральная ветвь высокочастотной (третьей) плазменной моды претерпевает излом вблизи порога перфорации. Показано, что указанный излом имеет место на частоте, совпадающей с частотой основного дипольного плазменного колебания в изолированных электронных полосках. При этом распределения амплитуд осцилляций поля и заряда для третьей моды в сильно модулированной  $2D$ -системе близки к соответствующим распределениям в изолированных электронных каналах.

Проведена подгонка результатов расчетов к известным экспериментальным данным [1, 2] по наблюдению плазменных резонансов в периодически неоднородных электронных  $2D$ -системах. Сделан вывод о том, что наблюдаемая в экспериментах зависимость частоты плазменного резонанса от глубины модуляции равновесной электронной плотности в  $2D$ -системе связана с возбуждением разных типов плазменных колебаний при различной глубине модуляции. В результате рассмотрения предложено объяснение существовавшего до настоящего времени противоречия между экспериментальными и теоретическими данными по поводу поведения частоты

ты плазменного резонанса при переходе через порог перфорации  $2D$ -системы.

В заключение заметим, что похожий характер трансформации спектра плазменных колебаний был обнаружен недавно в спаренных электронных проволоках с токовой связью [13,14]. Установление токовой связи между двумя первоначально изолированными электронными проволоками приводит к образованию одного широкого электронного канала с изменяющейся по ширине канала равновесной электронной плотностью. Спектр плазменных мод в таком электронном канале испытывает сгущение при уменьшении до нуля токовой связи между электронными проволоками. В отсутствие токовой связи в системе устанавливается спектр плазменных колебаний, характерный для изолированных электронных проволок. В отличие от [13,14] в рассматриваемой нами структуре переход к режиму изолированных электронных каналов сопровождается сгущением спектра плазменных колебаний непрерывной электронной  $2D$ -системы с периодически модулированной электронной плотностью.

Работа выполнена при финансовой поддержке РФФИ (проект 00-02-16440).

## ЛИТЕРАТУРА

1. J. P. Kotthaus, W. Hansen, H. Pohlmann, and M. Wassermeier, *Surf. Sci.* **196**, 600 (1988).
2. T. Demel, D. Heitmann, and P. Grambow, in *Proc. NATO ARW on «Spectroscopy of Semiconductor Microstructures» NATO ASI Series, Series B: Physics*, Vol. 206, ed. by G. Fasol, A. Fasolino, P. Lugly, Plenum Press, New York, London (1989), p. 75.
3. О. Р. Матов, О. Ф. Мешков, В. В. Попов, *ЖЭТФ* **113**, 988 (1998).
4. В. Б. Шикин, Т. Демель, Д. Хайтман, *ЖЭТФ* **96**, 1406 (1989).
5. V. Cataudella and V. M. Ramaglia, *Phys. Rev. B* **38**, 1828 (1988).
6. S. V. Meshkov, *J. Phys.: Condens. Matter* **3**, 1773 (1991).
7. B. P. van Zyl and E. Zaremba, *Phys. Rev. B* **59**, 2079 (1999).
8. R. W. Gruhlke, W. R. Holland, and D. S. Hall, *Phys. Rev. Lett.* **56**, 2838 (1986).
9. S. J. Allen, Jr., H. L. Störmer, and J. C. Hwang, *Phys. Rev. B* **28**, 4875 (1983).
10. J. Alsmeier, E. Batke, and J. P. Kotthaus, *Phys. Rev. B* **40**, 12574 (1989).
11. М. В. Крашенинников, А. В. Чаплик, *ЖЭТФ* **88**, 129 (1985).
12. О. Р. Матов, О. В. Полищук, and В. В. Попов, *Int. J. Infrared Millimeter Waves* **14**, 1455 (1993).
13. W. R. Frank, A. O. Govorov, J. P. Kotthaus et al., *Phys. Rev.* **55**, 1950 (1997).
14. А. О. Говоров, W. R. Frank, С. А. Студеникин, *ФТТ* **40**, 542 (1998).